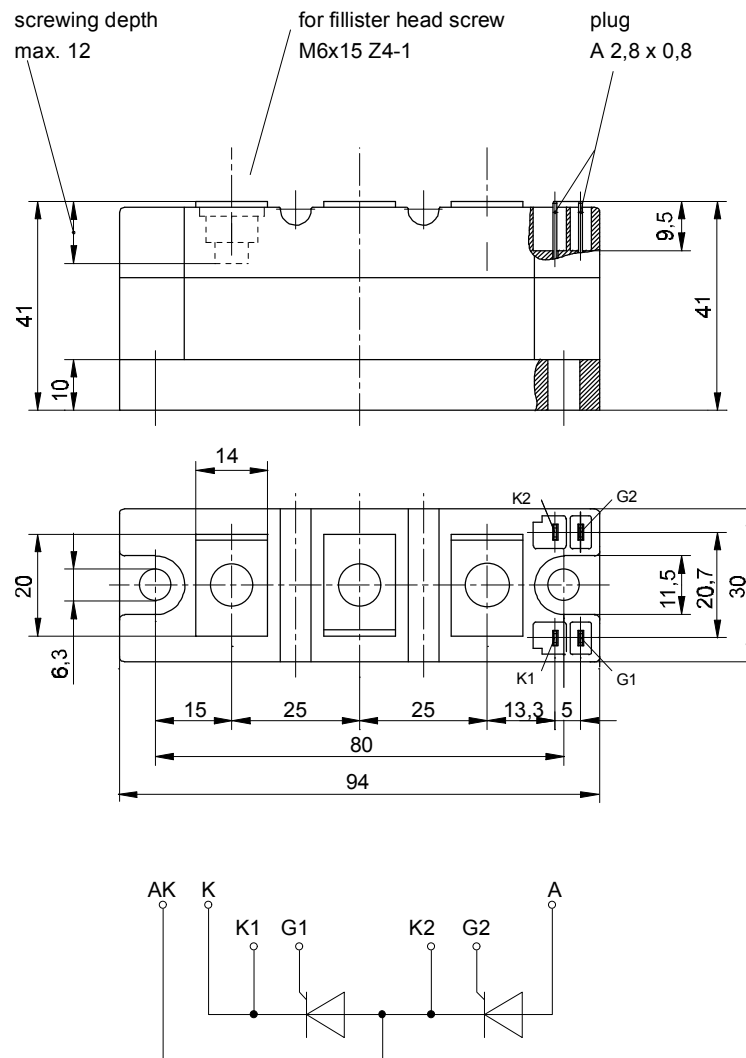




European Power-Semiconductor and Electronics Company GmbH + Co. KG

Marketing Information

TT 131 N



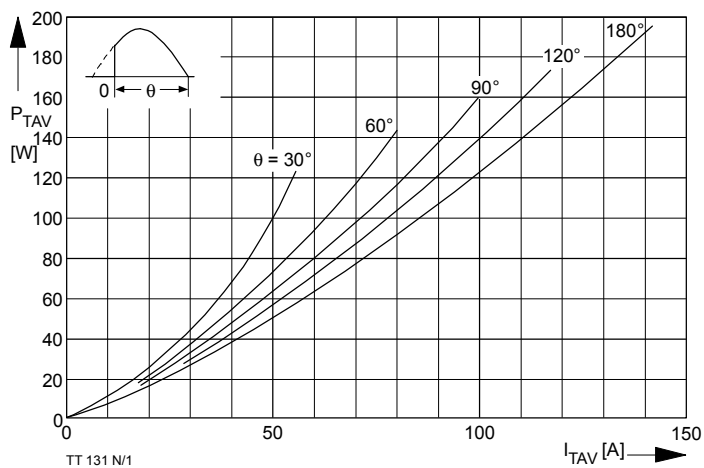


Bild / Fig. 1
 Durchlaßverlustleistung je Zweig / On-state power loss per arm
 $P_{TAV} = f(I_{TAV})$
 Parameter: Stromflußwinkel / current conduction angle θ

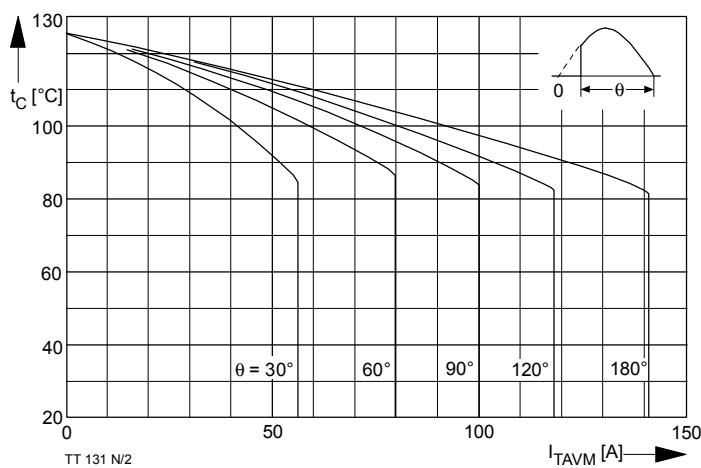


Bild / Fig. 2
 Höchstzulässige Gehäusetemperatur / Maximum allowable case temperature
 $t_C = f(I_{TAVM})$
 Strombelastung je Zweig / current load per arm
 Parameter: Stromflußwinkel / current conduction angle θ

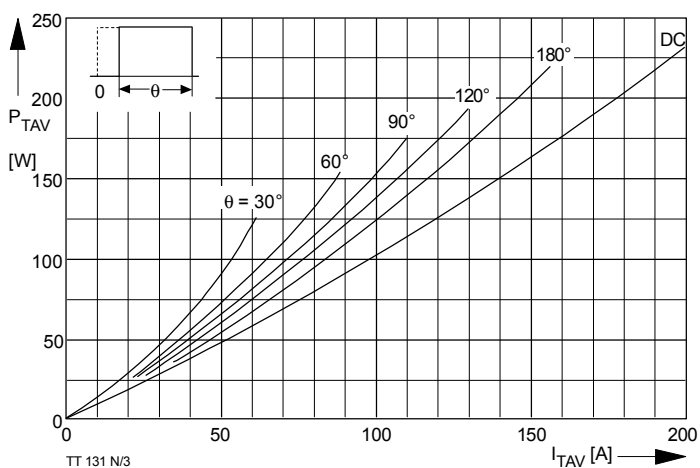


Bild / Fig. 3
 Durchlaßverlustleistung je Zweig / On-state power loss per arm
 $P_{TAV} = f(I_{TAV})$
 Parameter: Stromflußwinkel / current conduction angle θ

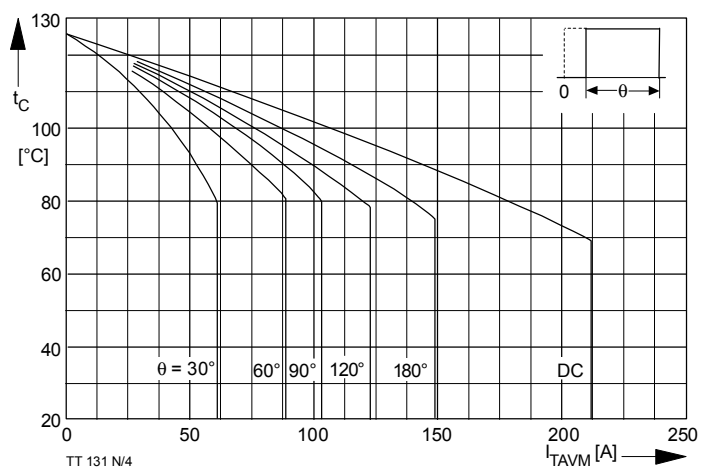


Bild / Fig. 4
 Höchstzulässige Gehäusetemperatur / Maximum allowable case temperature
 $t_C = f(I_{TAVM})$
 Strombelastung je Zweig / current load per arm
 Parameter: Stromflußwinkel / current conduction angle θ

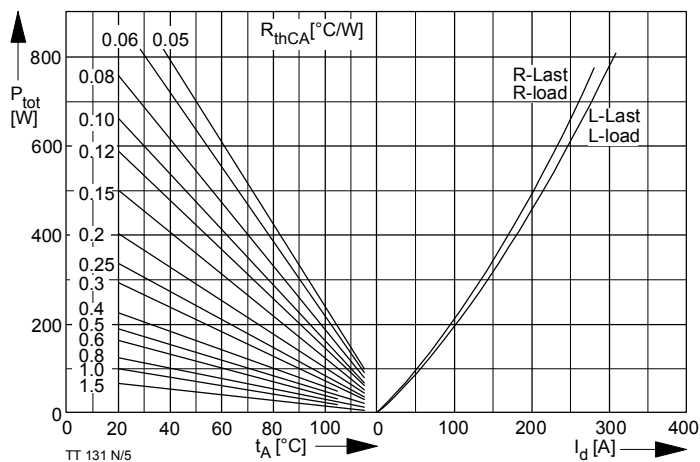


Bild / Fig. 5
 B2 - Zweipuls-Brückenschaltung / Two-pulse bridge circuit
 Höchstzulässiger Ausgangsstrom / Maximum rated output current I_d
 Gesamtverlustleist. der Schaltung / total power dissip. of the circuit P_{tot}
 Parameter: Wärmewiderstand zwischen Gehäuse und Umgebung / thermal resistance case to ambient R_{thCA}

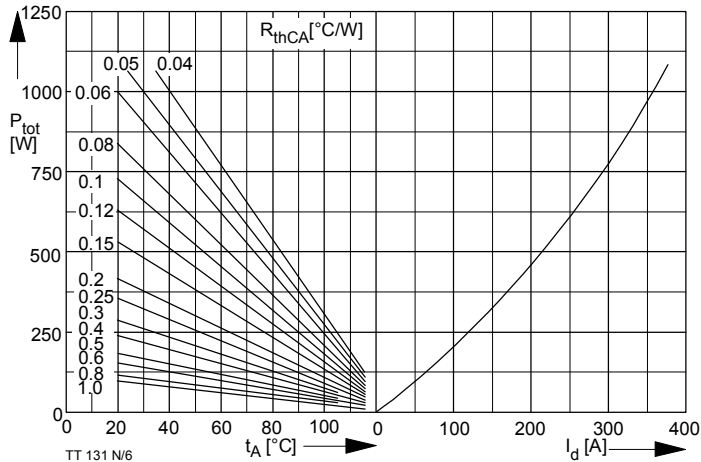


Bild / Fig. 6
 B6 - Sechspuls-Brückenschaltung / Six-pulse bridge circuit
 Höchstzulässiger Ausgangsstrom / Maximum rated output current I_d
 Gesamtverlustleist. der Schaltung / Total power dissip. of the circuit P_{tot}
 Parameter: Wärmewiderstand zwischen Gehäuse und Umgebung / thermal resistance case to ambient R_{thCA}

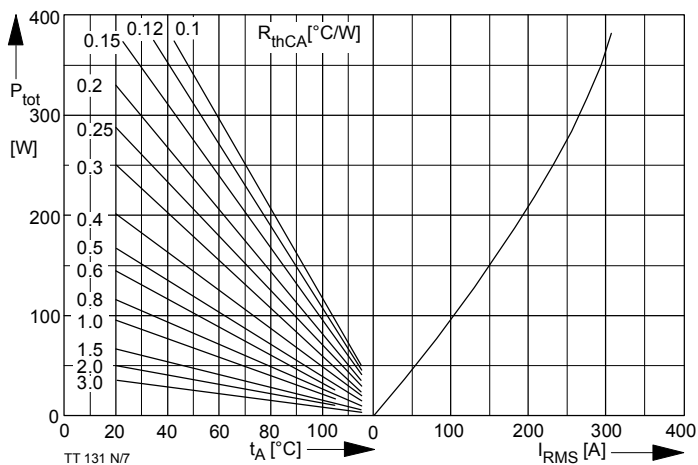


Bild / Fig. 7
 W1C - Einphasen-Wechselwegschaltung / Single-phase inverse parallel circuit
 Höchstzulässiger Effektivstrom / Maximum rated RMS current I_{RMS}
 Gesamtverlustleist. der Schaltung / Total power diss. at the circuit P_{tot}
 Parameter: Wärmewiderstand zwischen Gehäuse und Umgebung / thermal resistance case to ambient R_{thCA}

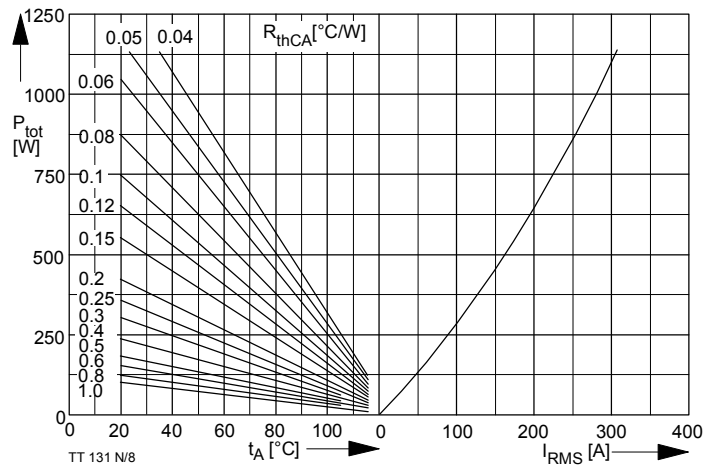


Bild / Fig. 8
 W3C - Dreiphasen-Wechselwegschaltung / Three-phase inverse parallel circuit
 Höchstzulässiger Effektivstrom je Phase / Maximum rated RMS current per phase I_{RMS}
 Gesamtverlustleist. der Schaltung / Total power diss. at the circuit P_{tot}
 Parameter: Wärmewiderstand zwischen Gehäuse und Umgebung / thermal resistance case to ambient R_{thCA}

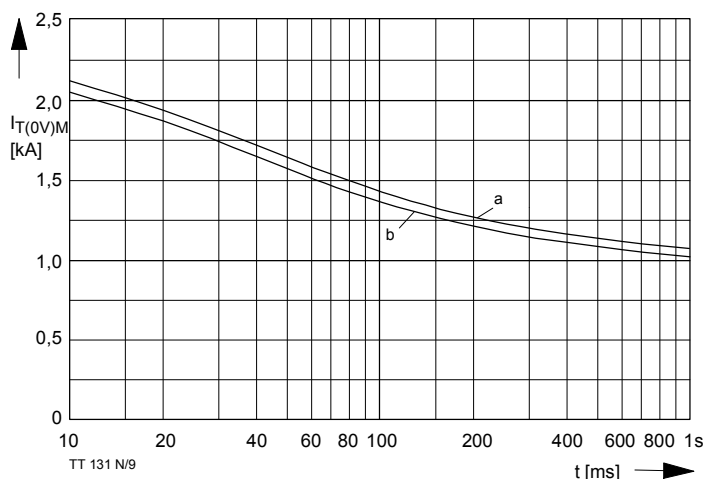


Bild / Fig. 9
 Grenzstrom je Zweig $I_{T(OV)M}$. Belastung aus Leerlauf, $V_{RM} = 0,8 V_{RRM}$
 Maximum overload on-state per arm current $I_{T(OV)M}$. Surge current under no-load conditions, $V_R = 0,8 V_{RRM}$
 a - $t_A = 35\text{ °C}$, verstärkte Luftkühlung / forced cooling
 b - $t_A = 45\text{ °C}$, Luftselbstkühlung / natural cooling

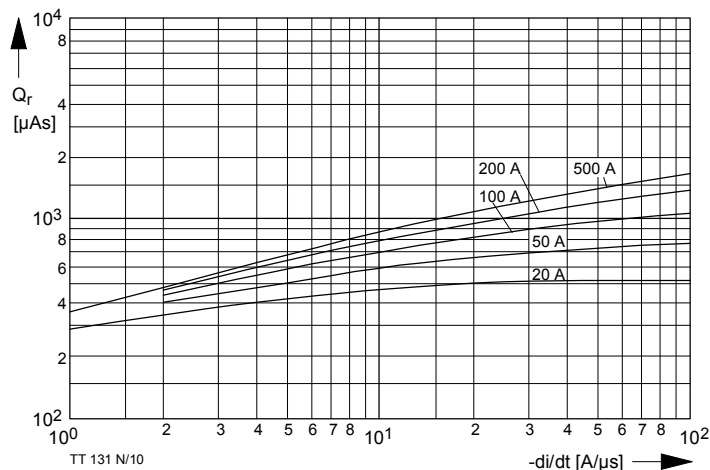


Bild / Fig. 10
 Sperrverzögerungsladung / Recovery charge $Q_r = f(-di/dt)$
 $t_{vj} = t_{vjmax}$, $V_R \leq 0,5 V_{RRM}$, $V_{RM} = 0,8 V_{RRM}$
 Parameter: Durchlaßstrom / On-state current i_{TM}

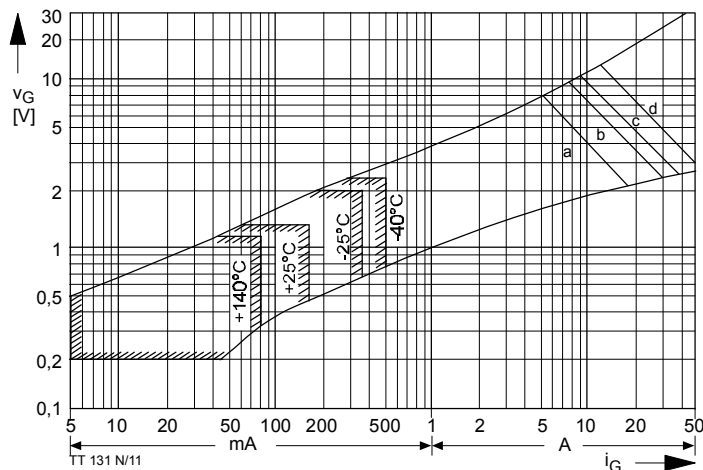


Bild / Fig. 11
 Steuercharakteristik mit Zündbereichen / Gate characteristic with triggering areas, $v_G = f(i_G)$, $v_D = 6\text{ V}$
 Parameter:

	a	b	c	d
Steuerimpulsdauer / Pulse duration t_g [ms]	10	1	0,5	0,1
Höchstzulässige Spitzensteuerleistung / Maximum allowable peak gate power [W]	40	80	100	150

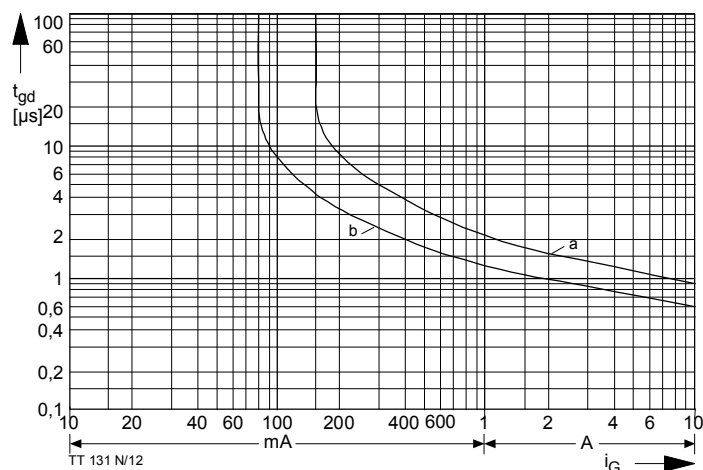


Bild / Fig. 12
 Zündverzögerung / Gate controlled delay time $t_{gd} = f(i_G)$
 $t_{vj} = 25\text{ °C}$, $di_G/dt = i_{GM}/1\mu\text{s}$
 a - äußerster Verlauf / limiting characteristic
 b - typischer Verlauf / typical characteristic

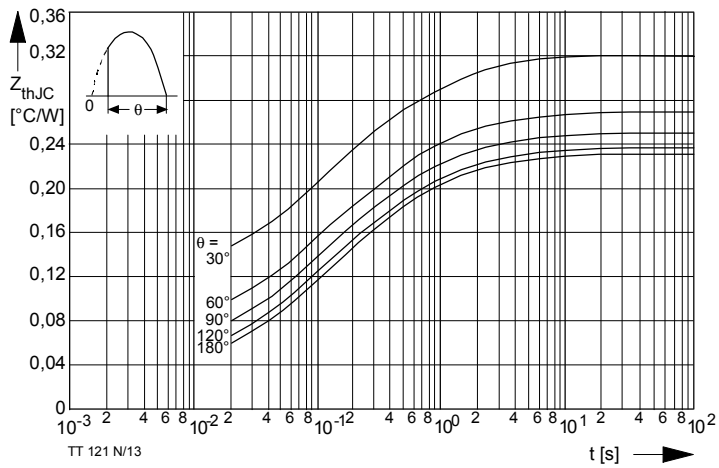


Bild / Fig. 13
 Transienter innerer Wärmewiderstand je Zweig / Transient thermal impedance per arm $Z_{(th)JC} = f(t)$
 Parameter: Stromflußwinkel / current conduction angle θ

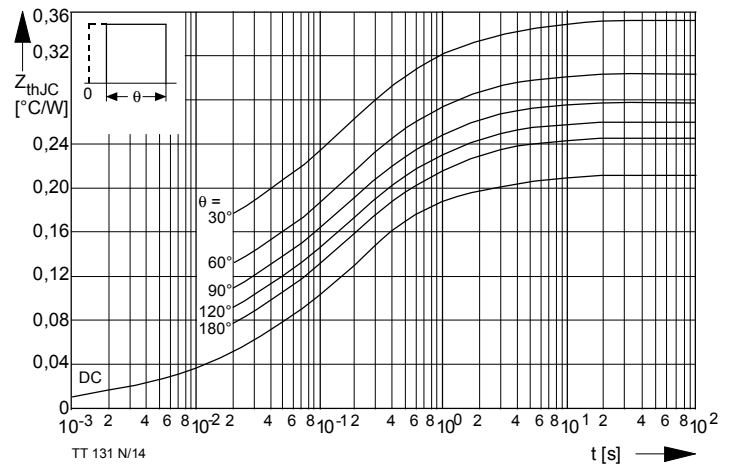


Bild / Fig. 14
 Transienter innerer Wärmewiderstand je Zweig / Transient thermal impedance per arm $Z_{(th)JC} = f(t)$
 Parameter: Stromflußwinkel / current conduction angle θ

Analytische Elemente des transienten Wärmewiderstandes Z_{thJC} pro Zweig für DC
 Analytical elements of transient thermal impedance Z_{thJC} per arm for DC

Pos. n	1	2	3	4	5	6	7
$R_{thn} [°C/W]$	0,00956	0,025	0,0763	0,0726	0,0305		
$\tau_n [s]$	0,00089	0,0078	0,086	0,412	2,45		

Analytische Funktion / Analytical function:

$$Z_{thJC} = \sum_{n=1}^{n_{max}} R_{thn} (1 - e^{-\frac{t}{\tau_n}})$$